

九州大学 正員 山崎徳也

〃 学生員 石川信隆

〃 〃 干岩敏彌

**1. 緒言** 従来の塑性設計法では  $M$ - $\phi$  曲線を図-1のことく完全弾塑性モデルと仮定して理論展開を行なっているが、鋼構造物の弾塑性挙動に関する多くの実験結果によれば、図-2に示すごときひずみ硬化による影響も無視できないことが報告されている。なかでも M.G.Lay<sup>1)</sup>はかかる影響をはり構造物に導入するため、従来の「塑性ヒンジ」の代りに「Circular Length」というひずみ硬化領域を考慮した新しい解析法を提案しているが、これは塑性設計法より実状に一步進したものといえる。本研究はこの「Circular Length Method」をさらに多層多スパンラーメンに応用拡張し、これと在来の塑性設計法との比較検討を行わんとするものである。

## 2. 基本的考察 (1) Circular Length の定義

いま  $M$ - $\phi$  曲線をひずみ硬化の影響を考慮して図-2のごとく仮定すれば、図-3(a)の片持ちばかり  $AB$  にひずみ硬化領域  $(\varepsilon L)$  が発生するときの  $M$ - $\phi$  図および  $\phi$ - $\Gamma$  図は同図(b), (c) に示すこととなり、 $A$   $C$  間での曲率すなわち図-3(c)の斜線部は図-4のごとく  $M$  と  $\Gamma$  とに分割できる。したがって各曲率成分  $I, II, III$  に分割できる。したがって各曲率成分における任意点の曲率  $\phi_s$  はそれぞれ次のごとく表わされる。

$$\begin{aligned}\phi_x &= M/EI \\ \phi_x &= (S-1)M_p/EI \\ \phi_x &= (h-1)(M-M_p)/EI\end{aligned}\quad (1)$$

ただし  $EI$ : 曲げ剛性,  $M_p$ : 塑性モーメント

$S = cst/\varepsilon_y$ ,  $cst$ : ひずみ硬化に入るときのひずみ,  $\varepsilon_y$ : 降伏ひずみ,  $h$ : ひずみ硬化の勾配に関する係数

ここでひずみ硬化領域における曲率を線型化するため、曲率成分  $III$  を省略して曲率成分  $I$  や  $II$  のみを用い

るものとすれば、結局ひずみ硬化領域での曲率  $\phi_s$  は次式で表わされることとなる。

$$\phi_s = \phi_x + \phi_y = M/EI + (S-1)M_p/EI \quad (2)$$

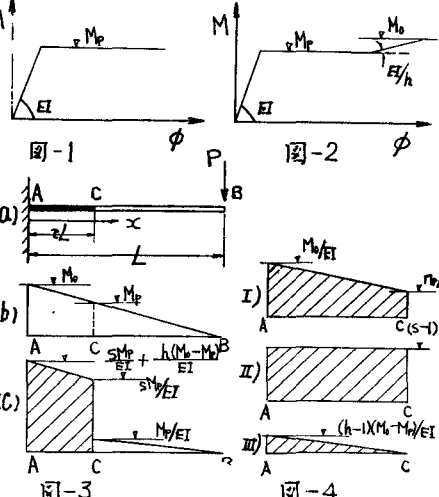
よって式(2)および  $\phi$ -法公式<sup>2)</sup>を用うれば、図-3(a)の片持ちばかりの荷重載荷点  $B$  のたわみ  $\delta$  が次式のごとく求められる。

$$\delta = \int_0^L \phi_e(L-x) dx + \int_{\varepsilon L}^L \phi_e(L-x) dx - \int_0^L \phi_e(L-x) dx + \int_{\varepsilon L}^L (\phi_s - \phi_e)(L-x) dx \quad (3)$$

しかるに  $\phi_e = \phi_x = M/EI$ ,  $\phi_s - \phi_e = \phi_y$  なるゆえ、上式は微少項を省略して結局次式のごとく整理される。

$$\delta = PL^3/(3EI) + \varepsilon L \cdot \phi_y \cdot L \quad (4)$$

式(4)の第1項は弾性たわみ  $\delta^e$  (図-5(a)参照)に、第2項は以下に考察することなく幾何学的見地より塑性たわみ  $\delta^p$  (図-5(b)参照)に該当する。まず  $\phi_y$  が一定であるゆえ、図-5(b)に示すことなく一定半径  $R(-\frac{1}{\phi_y} - \frac{EI}{(S-1)M_p})$  を有する円を  $A$  端に接することと描き、ひずみ硬化領域  $\varepsilon L$  を弧長  $AC$  で近似



すれば  $\angle AOC$  は  $\theta_H = \tau L/R$  となり、さらに半径  $OC$  に垂線  $CB$  とすれば  $\delta''$  が幾何学的関係より次の式のことく求められる。

$$\delta'' = (L - \tau L) \sin(\tau L/R) + R - R \cos(\tau L/R) = L \tau L/R = \tau L \phi_1 L = \theta_H L \quad (5)$$

ただし  $\tau L/R$  は I 型断面鋼部材で最大 0.05 であるゆえに  $\ll L$  と見做した。

以上より図-5(b) のひずみ硬化領域  $\tau L$  を以後 'Circular Length' と呼ぶことにし、この  $\tau L$  は曲げモーメントの適合条件、すなわち図-3 (b) の C 点の算出曲げモーメントが  $M_p$  に等しいべき条件より次式のことく求められる。

$$\tau L = (PL - M_p) L / PL \quad (6)$$

なお、 $\tau L$  を  $P$  の一次函数にするため、 $\tau L \ll L$  なることを考慮して、ここでは式(6)の分母の  $PL$  を  $M_p$  に置換した式を用いることとする。

$$\tau L = (PL - M_p) L / M_p \quad (7)$$

## (2) 誤差の検討

図-3(a) の片持ちばかりについて、本法によるたわみ

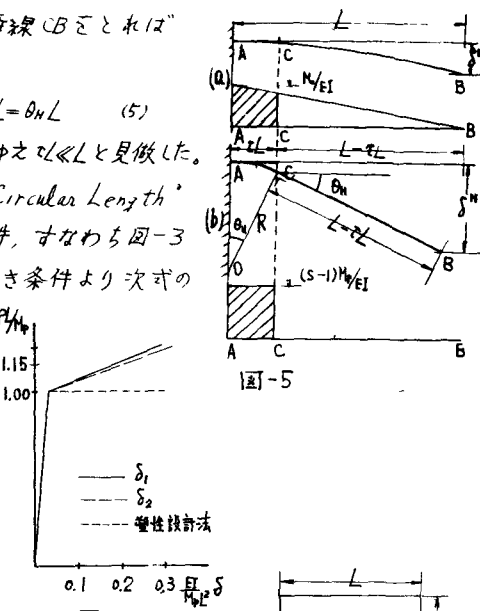


図-5

$\delta_1$

$\delta_2$

塑性法

0.1

0.2

0.3

$\frac{EI}{P} L$

$\delta$

0.1

0.2

$\frac{EI}{P} L$

$\delta$

とみなして、ここで式(6)の分母の  $PL$  を  $M_p$  に置換した式を用いることとする。

ただし  $S=11$ ,  $h=50$  を用いた。

3. ラーメン構造物への応用 前記2(1)で考察したことく 'Circular Length' を考慮すれば弾塑性たわみは弾性たわみ  $\delta^e$  と塑性たわみ  $\delta^p$  を加算することによって求められることになるが、ここではその重ね合わせを利用してラーメンの弾塑性解析に対する解説を試みる。

(1) 基本式の誘導 まず図-7(a) のラーメンを考え、同図(b)のことく  $R_1, R_2, R_3 L$  を不静定力に選べば、同図(c)の反力および荷重作用点の弾性たわみ  $\delta_4^e$  (1=1, 2, 3, 4) および同図(d)の各点 ( $i=1, 2, 3, 4, 5$ ) の曲げモーメント  $M_k$  は反力  $R_i$  ( $i=1, 2, 3$ ) および荷重  $P$  の函数としてそれぞれ次式のことく求められる。

$$\frac{EI}{L^2} [\delta^e] = [\bar{A}] [R] + [A_p] P \quad (8) \quad \frac{1}{L} [M] = [C] [R] + [G] P \quad (9)$$

ただし  $[\bar{A}] = \begin{bmatrix} 1 \\ A_1 \\ A_2 \\ A_3 \end{bmatrix}$ ,  $[A_p] = \begin{bmatrix} A_p \\ A'_1 \\ A'_2 \\ A'_3 \end{bmatrix}$   $[\cdot] \cdot N \times N'$  行列,  $[C] \cdot N' \times 1$  行列  
 $N, N', N''$  は任意の整数

A 反力  $R_1=1$  が作用したときの反力作用点の弾性たわみ ( $\times EI/L^3$ )

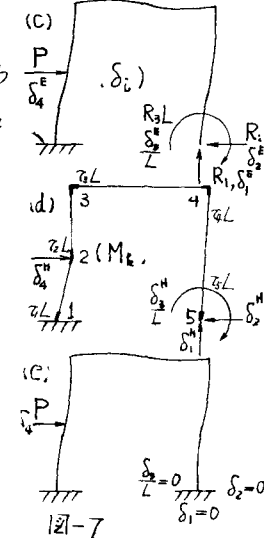
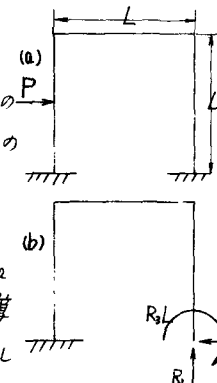
A' 反力  $R_1=1$  が作用したときの荷重作用点の弾性たわみ ( $\times EI/L^3$ )

$A_p$  荷重  $P=1$  が作用したときの反力作用点の弾性たわみ ( $\times EI/L^3$ )

$A'_p$  荷重  $P=1$  が作用したときの荷重作用点の弾性たわみ ( $\times EI/L^3$ )

C 反力  $R_1=1$  が作用したときの右点のモーメント ( $\times 1/L$ )

$C_p$  荷重  $P=1$  が作用したときの右点のモーメント ( $\times 1/L$ )



一方、塑性解析より最終崩壊時の塑性変形図を追跡して求めれば図-7(d)のごとくなり、同図における各点の Circular Length・ $\alpha_k$  は式(7)に準じ、崩壊時の  $M$ -図を用いて式(10)のごとくまた各点での塑性回転角  $\theta_{hk}$  は式(5)を用いて式(11)のごとくそれそれ求められる。

$$\alpha_k = (M_{hk} - M_{pk}) / (\alpha_k M_{pk}) \quad (k=1,2,3,4,5) \quad (10) \quad \theta_{hk} = \varphi_{hk} \text{ ごとく } H_k \quad (11)$$

ただし  $\alpha_k$ ・塑性解析にいう崩壊時の  $M$ -図よりえられる比例定数

$H_k$  Keariside 演算子ごとのごとき内容をもつ  $M_{hk} > M_{pk}$  のとき  $H_k = 1$ ,  $M_{hk} < M_{pk}$  のとき  $H_k = 0$  式(11)に式(10)および式(9)を代入したうえで  $E_l^T$  を両辺に乗すれば下記の式(12)がえられる。

$$\frac{EI}{L}[\delta_h^H] = [1][C][R] + [1][C_p]P - [\bar{B}] \left[ \frac{M}{L} \right] \quad (12)$$

ただし  $\eta_k = (L \Phi_{hk} H_k / \alpha_k) (EI / L M_{pk}) = H_k (k=1,2,3,4,5)$

よって式(5)および式(12)を用うれば結局塑性たわみ  $\delta_h^H$  は次式のごとく求められることとなる。

$$\frac{EI}{L}[\delta_h^H] = \left( \frac{EI}{L} \right) [B][\theta_h] = [\bar{B}][1][C][R] + [\bar{B}][1][C_p]P - [\bar{B}] \left[ \frac{M}{L} \right] \quad (13)$$

ただし  $[\bar{B}] = \begin{bmatrix} B \\ B' \end{bmatrix}$   $B$  図-7(d)で  $\theta_{hk} = 1$  をえたときの反力作用点の塑性たわみ ( $\times 1/2$ )  
 $B'$  図-7(d)で  $\theta_{hk} = 1$  をえたときの荷重作用点の塑性たわみ ( $\times 1/2$ )

つぎに、不静定力  $R_{ic}$  ( $i=1,2,3$ ) は図-7(e)のごとき固定条件  $\delta_i = \delta_i^E + \delta_i^H = 0$  ( $i=1,2,3$ ) を用いて求められ、式(8)および式(13)より次式のごとくえられる。

$$[R] = [G]^{-1}[T](M_{pk}) - [G]^{-1}[D]P \quad (14)$$

ただし  $[G] = [A] + [B][1][C]$ ,  $[D] = [A_p] + [B][1][C_p]$ ,  $[T] = [B][1]\left[ \frac{M}{L} \right] (L M_p)$   $\} \quad (15)$

したがって各点での曲げモーメント  $M_{hk}$  は式(9)および式(14)より、また荷重作用点でのたわみ  $\delta_i = \delta_i^E + \delta_i^H$  ( $i=1,2,3$ ) は式(8)、式(13)および式(14)よりそれぞれ次式のごとく求められる。

$$[M] = [C][G]^{-1}[T]M_p + P([G] - [C][G]^{-1}[D])L \quad (16)$$

$$\frac{EI}{L}[\delta] = ([G][G]^{-1}[T] - [T])(M_p L) + ([D] - [G][G]^{-1}[D])P \quad (17)$$

ただし  $G, G', D, T'$  は式(15)において  $A, A_p, B$  をそれぞれ  $A', A'_p, B'$  に置換した値に一致する。

(2) 解法 以上の諸式を用うればひずみ硬化領域を考慮したラーメンの弾塑性解析が可能となるが、その解法骨子は慣用の弾性解析における応力法に類似であり、「Circular Length」を考慮した塑性たわみが加わるのみといえる。すなわちその演算過程をフローチャートに示せば図-8のごとくなり、各断面が  $M_p$  に達するときの荷重値を逐次求め、そのときの曲げモーメントおよびたわみを算定することとなる。

**4. 計算例** 図-9(a)に示すごとき 1 層 2 スパンラーメンに水平集中荷重  $P$  が作用する場合に、水平変位  $\delta$  を初期降伏時より崩壊に至るまで求めれば次のごとくである。まず式(8)、(9)の  $[A], [A_p], [C], [C_p], [A], [A'_p]$  を求めればそれそれ表-1 がえられる。ついで式(13)の  $[B], [B']$  は図-9(b)のごとき最終崩壊時の塑性変形図より、また式(12)の  $[1]$  は図-9(c)の崩壊時の  $M$ -図を用いてそれぞれ求められ表-1 に示す値となる。ただし  $[1]$  については後の算出に際しては、図-9(b)の塑性たわみに影響を与える  $\alpha_k$  ( $k=1,2,3,4$ ) を用いることとした。

よって図-8 のフローチャートに従って数値計算を行なえば、崩壊過程は図-9 のごとく、また荷重-たわみ曲線は図-11 に示すごとくえられる。

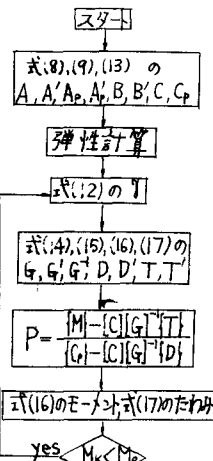


図-8 [ストップ]

なお、本例では最大曲げモーメント  $M_p$  を局部座屈がおこると予想される  $M_0 = 1.15M_p$  として計算を行なったが、これは最大耐力を塑性設計法による崩壊荷重値より約 9% 増加せしめていい。

## 5. 結語

本論文はひずみ硬化領域を考慮したラーメンの実用的な弾塑性解析法を提示したもので、本研究の成果として以下の諸点が挙げられる。

$$[A] = \begin{bmatrix} \frac{1}{3} & -\frac{1}{4} & \frac{1}{6} & -\frac{1}{4} \\ -\frac{1}{4} & \frac{3}{4} & -\frac{1}{3} & \frac{1}{3} \\ \frac{1}{6} & -\frac{3}{4} & \frac{2}{3} & -1 \\ \frac{1}{4} & \frac{1}{3} & -1 & \frac{5}{8} \end{bmatrix}, [A_p] = \begin{bmatrix} -\frac{1}{2} \\ \frac{1}{12} \\ -1 \\ \frac{1}{12} \end{bmatrix}, [B] = \begin{bmatrix} -1 & 1 & 0 & 0 \\ -\frac{1}{2} & -\frac{1}{2} & 1 & 0 \\ -2 & 2 & 0 & 0 \\ -\frac{1}{2} & -\frac{1}{2} & 0 & \frac{1}{2} \end{bmatrix}$$

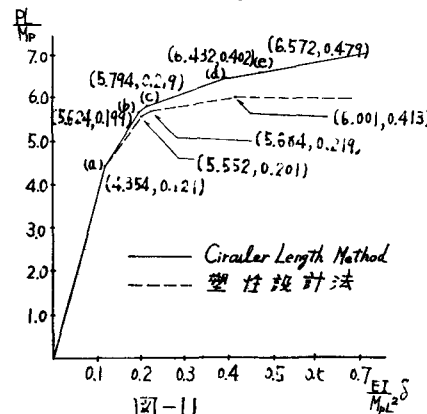
$$[A'] = \begin{bmatrix} -\frac{1}{2} & -\frac{1}{2} & -1 & -\frac{1}{2} \end{bmatrix}, [A'_p] = \begin{bmatrix} \frac{1}{3} \end{bmatrix}, [B'] = \begin{bmatrix} 1 & 0 & 0 & 0 \end{bmatrix}$$

$$[C] = \begin{bmatrix} -1 & -\frac{1}{2} & -2 & -\frac{1}{2} \\ 1 & -\frac{1}{2} & 2 & -\frac{1}{2} \\ 0 & \frac{1}{2} & 0 & 0 \\ 0 & 0 & 0 & \frac{1}{2} \end{bmatrix}, [C_p] = \begin{bmatrix} 1 \\ 0 \\ 0 \\ 0 \end{bmatrix}, [I] = \begin{bmatrix} \frac{1}{2}H_1 & 0 & 0 & 0 \\ 0 & \frac{2}{3}H_2 & 0 & 0 \\ 0 & 0 & \frac{1}{2}H_3 & 0 \\ 0 & 0 & 0 & \frac{1}{4}H_4 \end{bmatrix}$$

表-1

(1)-一般にひずみ硬化領域を考慮し大厳密解は極めて繁雑であるが、本法のごとき

“Circular Length”を導入すれば“重ね合わせ”的原理が適用でき、演算が容易になることが認められた。



(2) 実用性に重点を置くため曲率成分  $\zeta_L$  を省略し、また  $\zeta_L$  に比べ微少と見做したが、これらの誤差はかなり小さいことが確認された。

(3) Heaviside 演算子  $H_k$  を適宜用うることにより、初期降伏時より最終崩壊時までの追跡を可能ならしめた。

なお、M.G.Lay は最大曲げモーメント  $M_p$  を極限応力  $\sigma_u$  に起因した近似式<sup>3)</sup>を提案しているが、実際には  $M_0$  に達する以前に局部座屈の発生が予想され、今後かかる影響を考慮した解析法の確立が望まれる。

参考文献 1) M.G.Lay: A New Approach to Inelastic Structural Design, Proc.I.C.E., Vol.34, May, 1966 2) 山崎 太田・石川:

補正エネルギー法による直線材構造物の弾塑性解析、土木学会論文集、第134号、昭和41年10月  
Inelastic Beams Under Moment Gradient, Proc. A.S.C.E. St. Div. Feb. 1967

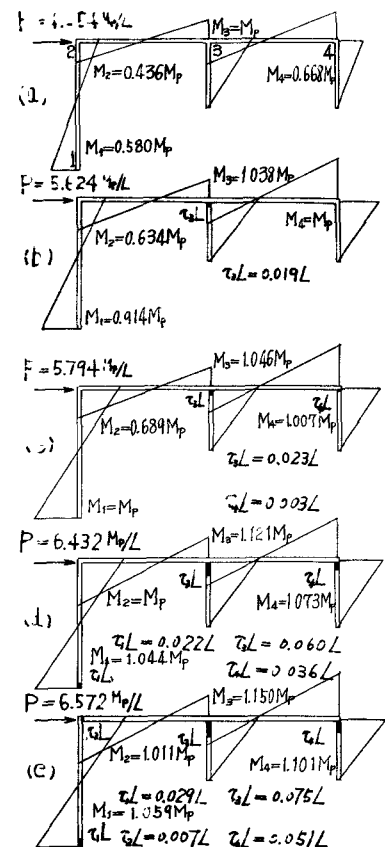
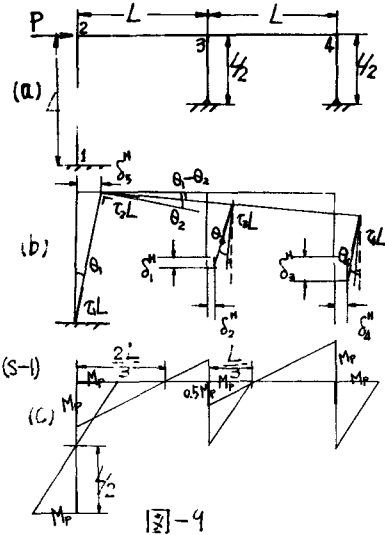


図-10